



Санкт-Петербургский государственный университет

Применение алгоритмов оптимизации к задаче генерации состояний заданного вида в квантовой оптике

Артем Александрович Черников, группа 23.M04-мм

24 апреля 2025 г.

Научный руководитель: к.ф.-м.н. С.С. Сысоев, старший преподаватель кафедры системного программирования

Санкт-Петербург
2025

- Квантовые технологии являются перспективной областью исследований
- Квантовая оптика — одно из ключевых направлений квантовых технологий
- Поиск квантовых оптических схем — актуальная и сложная задача

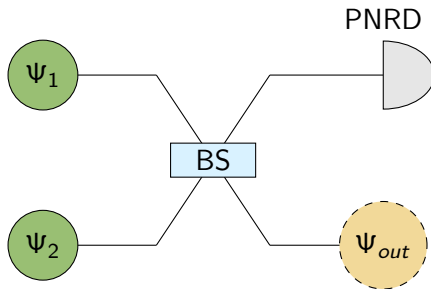
Постановка задачи

Целью работы является разработка оптимизационного алгоритма поиска квантовых оптических схем

Задачи:

- Разобраться с терминами квантовой оптики
- Реализовать вычисление значений функционала для итеративной схемы с входными состояниями определенного вида
- Реализовать алгоритм оптимизации функционала из п.2 по параметрам схемы и входных состояний
- Найти наилучшие параметры схемы и входных состояний
- Проверить гипотезы о зависимости функционала от количества итераций в схеме
- Проанализировать результаты

Оптическая схема



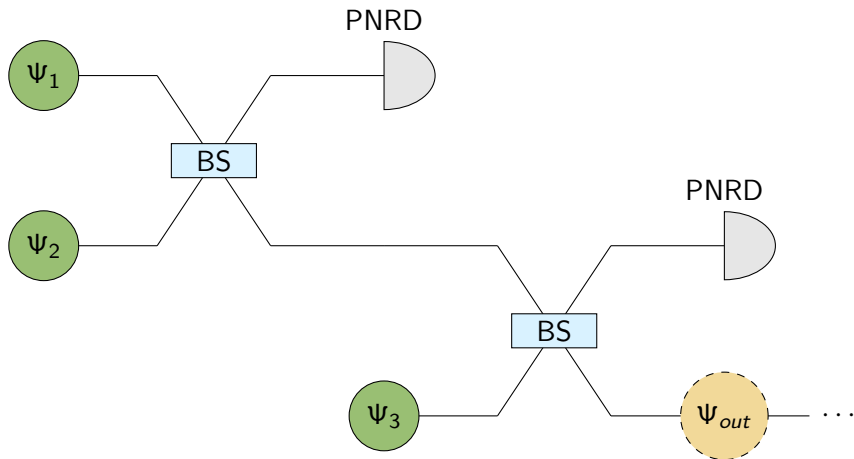
Ψ_1, Ψ_2 — функции, описывающие входные состояния

BS (Beam Splitter) — светоделитель

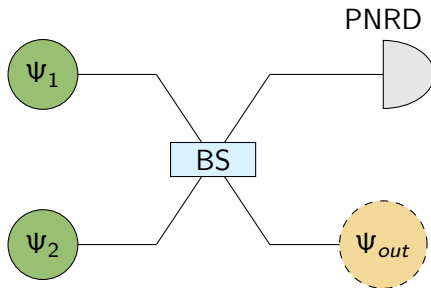
PNRD (Photon Number Resolving Detector) — датчик количества фотонов

Ψ_{out} — функция, описывающая выходное состояние

Итеративная схема



Оптическая схема, расчет состояния



$$\Psi_{out}(y) = \frac{1}{\|\dots\|} \int_{-\infty}^{\infty} \Psi_1(x \cos \varphi + y \sin \varphi) \Psi_2(-x \sin \varphi + y \cos \varphi) \psi_n(x) dx$$

$$\psi_n(x) = \frac{1}{\sqrt{2^n n!} \sqrt{\pi}} e^{-\frac{x^2}{2}} n! \sum_{k=0}^{\lfloor n/2 \rfloor} \frac{(2x)^{n-2k} (-1)^k}{(n-2k)! k!}$$

Оптимизируемый функционал

Состояние кубической фазы

$$\Psi(x) = \frac{1}{\sqrt[4]{\pi}} \exp \left(i\gamma x^3 - \frac{1}{2} e^{-2r} x^2 - \frac{r}{2} \right)$$

Функционал

$$\xi(\gamma) = \frac{2}{3} \left(\frac{2}{\gamma} \right)^{\frac{2}{3}} \left(\langle \hat{O}(\gamma)^2 \rangle - \langle \hat{O}(\gamma) \rangle^2 \right)$$

где

$$\langle \hat{X} \rangle = \int_{-\infty}^{\infty} \overline{\Psi_{out}(x)} \hat{X} \Psi_{out}(x) dx$$

$$\hat{O}(\gamma) = -i \frac{d}{dx} + \gamma x^2$$

- Численное интегрирование с помощью метода Буля
- Численное дифференцирование с помощью разностных оценок

$$f'(x) \approx \frac{f(x+h) - f(x)}{h}, \quad f''(x) \approx \frac{f(x+h) - 2f(x) + f(x-h)}{h^2}$$

- Приближение выходной функции ступенчатой

$$\psi_k = \psi_{out}(x_k)$$

Результаты, численные методы

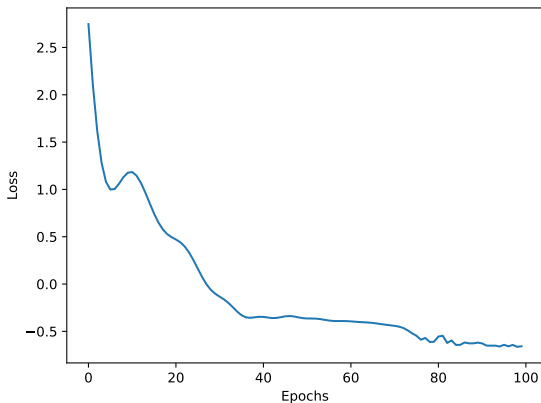


Схема с одной итерацией и одним измеренным фотоном ($\gamma = 1$)

- Сильная погрешность вычислений

Разложение в ряды

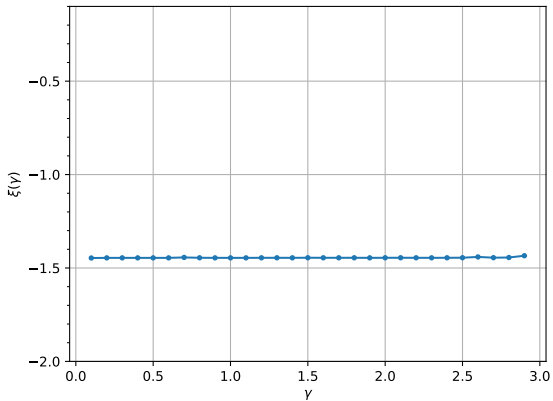
$$\Psi(x) = \sum_{n=0}^{\infty} a_n \psi_n(x)$$

- Начальное задание a_k
- Переход к двум аргументам $\Psi(x) \rightarrow \Psi(x + y)$
- Сжатие $\Psi(x) \rightarrow \Psi(\lambda x)$
- Произведение функций
- Интегрирование, дифференцирование

$$\Psi_{out}(y) = \frac{1}{\|\dots\|} \int_{-\infty}^{\infty} \Psi_1(x \cos \varphi + y \sin \varphi) \Psi_2(-x \sin \varphi + y \cos \varphi) \psi_n(x) dx$$

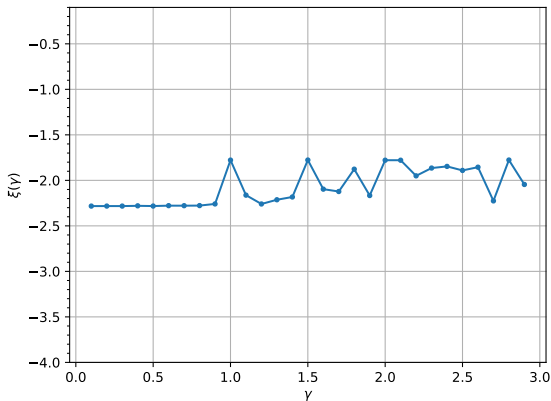
Результаты, разложение в ряды

- Итераций схемы: 1
- Фотонов: 1



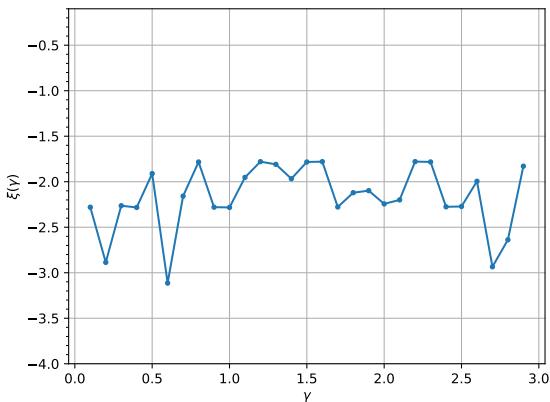
Результаты, разложение в ряды

- Итераций схемы: 1
- Фотонов: 2



Результаты, разложение в ряды

- Итераций схемы: 2
- Фотонов: 1 (на каждой итерации)



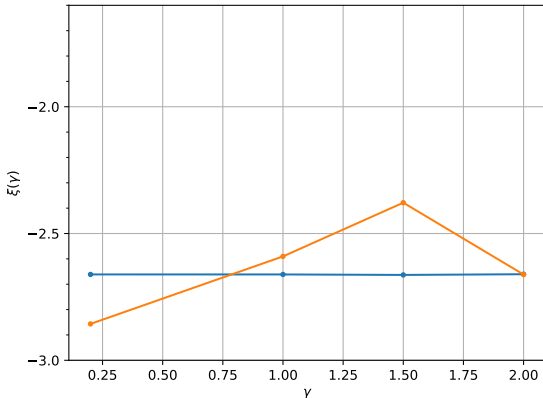
Результаты, разложение в ряды

Синим:

- Итераций схемы: 3
- Фотонов: 1 (на каждой итерации)

Оранжевым:

- Итераций схемы: 1
- Фотонов: 3



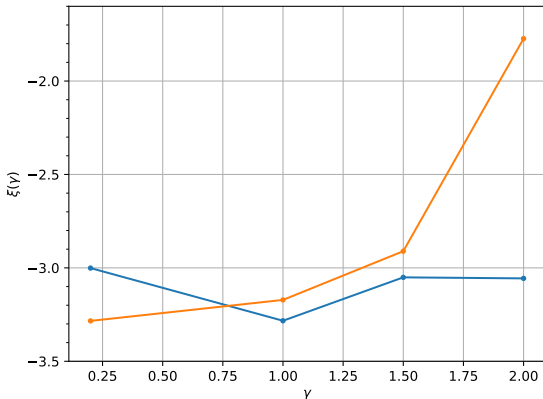
Результаты, разложение в ряды

Синим:

- Итераций схемы: 4
- Фотонов: 1 (на каждой итерации)

Оранжевым:

- Итераций схемы: 1
- Фотонов: 4



Заключение

В ходе выполнения данной работы были достигнуты следующие результаты:

- Изучены термины квантовой оптики
- Реализовано вычисление значений функционала и алгоритм его оптимизации для итеративной схемы
- Предложена схема вычисления функционала через представление в базисе Гаусса-Эрмита. Получено представление необходимых операций в терминах тензорной алгебры, выделена часть вычислений, независящих от параметров функционала
- Реализован алгоритм вычисления функционала в операциях тензорной алгебры. Реализована программа для расчетов с использованием GPU (PyTorch)

Заключение

- Проанализирована структура оптимизируемого функционала. Применены различные методы глобальной оптимизации
- Найдены наилучшие параметры схем и входных состояний для 1, 2, 3 и 4 итераций с совокупным вычитанием от 1 до 4 фотонов
- Доказана теорема о независимости значения глобального минимума от параметра состояния кубической фазы γ
- Проверены гипотезы о зависимости функционала от количества итераций в схеме
- На основе анализа результатов сделан вывод о том, что итеративная схема не выигрывает у простой схемы (без итераций) при условии вычитания достаточного количества фотонов при одной итерации

Код доступен в репозитории¹ GitHub

¹<https://github.com/artemgl/magpractice> (дата обращения: 24.03.2025)

Оптимизируемый функционал

Состояние кубической фазы

$$\Psi(x) = \frac{1}{\sqrt[4]{\pi}} \exp\left(i\gamma x^3 - \frac{1}{2}e^{-2r}x^2 - \frac{r}{2}\right)$$

Функционал

$$\xi(\gamma) = \frac{\text{var}_{\hat{\rho}_{out}}(\hat{O}(\gamma))}{\min_{\hat{\rho}_G} \text{var}_{\hat{\rho}_G}(\hat{O}(\gamma))} = \frac{2 \cdot 2^{2/3}}{3} \cdot \frac{\text{var}_{\hat{\rho}_{out}}(\hat{O}(\gamma))}{\gamma^{2/3}}$$

где

$$\hat{O}(\gamma) = -i \frac{d}{dx} + \gamma x^2$$

$$\text{var}_{\hat{\rho}_{out}} \hat{X} = \int_{-\infty}^{\infty} \overline{\Psi_{out}(x)} \hat{X}^2 \Psi_{out}(x) dx - \left(\int_{-\infty}^{\infty} \overline{\Psi_{out}(x)} \hat{X} \Psi_{out}(x) dx \right)^2$$

Разложение в ряды

$$\Psi(x) = \sum_{n=0}^{\infty} a_n \psi_n(x)$$

где

$$a_n = \int_{-\infty}^{\infty} \Psi(x) \psi_n(x) dx$$

$$\psi_n(x) = \frac{1}{\sqrt{2^n n!} \sqrt{\pi}} e^{-\frac{x^2}{2}} n! \sum_{k=0}^{\lfloor n/2 \rfloor} \frac{(2x)^{n-2k} (-1)^k}{(n-2k)! k!}$$

Разложение в ряды, начальное задание

Для функции

$$\psi_{in}(x) = \frac{\exp \left(ix\sqrt{2}\text{Im}(\alpha) - \frac{\left(x - \sqrt{2}\text{Re}(\alpha)\right)^2 (1 + i \sinh 2r \sin \varphi)}{2(\cosh 2r - \sinh 2r \cos \varphi)} \right)}{\sqrt[4]{\pi(\cosh 2r - \sinh 2r \cos \varphi)}}$$

$$a_k = \sqrt{\frac{\tilde{a}}{2^k k! \sqrt{\tilde{c}}}} \exp \left(\frac{\tilde{a} b^2}{4} - \frac{\text{Re}(b)^2 \tilde{c}}{2} \right) H_k(\tilde{a} b, \tilde{a} - 1)$$

где

$$\tilde{a} = 1 - e^{i\varphi} \tanh r$$

$$\tilde{c} = e^{2r} \sin^2 \frac{\varphi}{2} + e^{-2r} \cos^2 \frac{\varphi}{2}$$

$$b = \sqrt{2} \left(i \text{Im}(\alpha) + \text{Re}(\alpha) \frac{1 + i \sinh(2r) \sin(\varphi)}{\cosh(2r) - \sinh(2r) \cos(\varphi)} \right)$$

Разложение в ряды, переход к двум аргументам

$$\Psi(x) = \sum_{m=0}^{\infty} a_m \psi_m(x)$$

$$\Psi(x+y) = \sum_{k,n=0}^{\infty} b_{k,n} \psi_k(x) \psi_n(y)$$

$$b_{k,n} = \sum_{m=0}^{\infty} a_m J_{k,n,m}$$

где

$$J_{k,n,m} = \iint_{\mathbb{R}^2} \psi_m(x+y) \psi_k(x) \psi_n(y) dx dy$$

Разложение в ряды, сжатие

$$\Psi(x) = \sum_{k=0}^{\infty} a_k \psi_k(x)$$

$$\Psi(\lambda x) = \sum_{n=0}^{\infty} b_n \psi_n(x)$$

$$b_n = \sum_{k=0}^{\infty} a_k \int_{-\infty}^{\infty} \psi_k(\lambda x) \psi_n(x) dx$$

где

$$S_{n,k}(\lambda) = \int_{-\infty}^{\infty} \psi_k(\lambda x) \psi_n(x) dx$$

Разложение в ряды, произведение функций

$$\Psi_1(x, y) = \sum_{k,n=0}^{\infty} a_{k,n} \psi_k(x) \psi_n(y), \quad \Psi_2(x, y) = \sum_{r,s=0}^{\infty} b_{r,s} \psi_r(x) \psi_s(y)$$

$$\Psi_1(x, y) \Psi_2(x, y) = \sum_{p,q=0}^{\infty} c_{p,q} \psi_p(x) \psi_q(y)$$

$$c_{p,q} = \sum_{n,r=0}^{\infty} \left(\sum_{k=0}^{\infty} a_{k,n} I_{k,r,p} \right) \left(\sum_{s=0}^{\infty} b_{r,s} I_{n,s,q} \right)$$

где

$$I_{i,j,k} = \int_{-\infty}^{\infty} \psi_i(x) \psi_j(x) \psi_k(x) dx$$

$$\Psi(x, y) = \sum_{k,m=0}^{\infty} a_{k,m} \psi_k(x) \psi_m(y)$$

$$\int_{-\infty}^{\infty} \Psi(x, y) \psi_n(x) dx = \sum_{m=0}^{\infty} a_{n,m} \psi_m(y)$$

Разложение в ряды, функционал

$$\hat{O}(\gamma) = -i \frac{d}{dx} + \gamma x^2$$

$$\frac{d}{dx} \psi_n(x) = \sqrt{\frac{n}{2}} \psi_{n-1}(x) - \sqrt{\frac{n+1}{2}} \psi_{n+1}(x)$$

$$x \psi_n(x) = \sqrt{\frac{n}{2}} \psi_{n-1}(x) + \sqrt{\frac{n+1}{2}} \psi_{n+1}(x)$$

$$\frac{d}{dx} = \begin{pmatrix} 0 & \sqrt{\frac{1}{2}} & 0 & \cdots \\ -\sqrt{\frac{1}{2}} & 0 & \sqrt{\frac{2}{2}} & \cdots \\ 0 & -\sqrt{\frac{2}{2}} & 0 & \cdots \\ \vdots & \vdots & \vdots & \ddots \end{pmatrix}, \quad x \cdot = \begin{pmatrix} 0 & \sqrt{\frac{1}{2}} & 0 & \cdots \\ \sqrt{\frac{1}{2}} & 0 & \sqrt{\frac{2}{2}} & \cdots \\ 0 & \sqrt{\frac{2}{2}} & 0 & \cdots \\ \vdots & \vdots & \vdots & \ddots \end{pmatrix}$$